

(財)電力中央研究所 正員 白砂 孝夫

河床の sand wave のスペクトルの構造と流れの乱れ速度のスペクトルの構造は類似^{(1), (2)}して、流れの乱れ速度に frozen turbulence を仮定すれば両者のスケールが一致^{(1), (2)}する⁽³⁾ことが報告されて⁽³⁾いる。この場合、乱れ速度が sand wave の原因となるのか、sand wave が乱れ速度の原因となるのかはまだ定説がないようである。本研究では、sand wave が乱れ速度のエネルギーの発生源であると見て、定常状態において sand wave が十分に発達して、変形速度に比べて進行速度が十分に大きい場合を対象に、観測された乱れ速度のスペクトルと sand wave のスペクトルとの関係を考察する。

Sand wave と乱れ速度

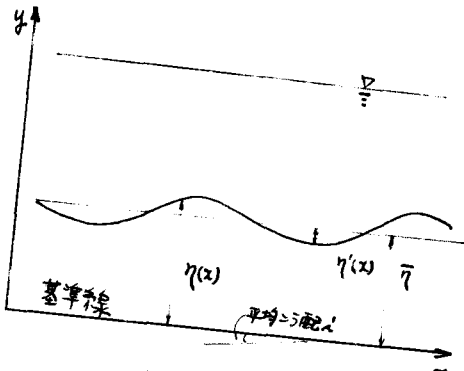
一様水路の河床変動量は次式で表わされる。

$$\frac{\partial \eta(x, t)}{\partial t} + \frac{\partial \bar{q}(x, t)}{\partial x} = 0 \quad (1)$$

$\eta(x, t)$; sand wave の基準線からの高さ,
 $\bar{q}(x, t)$; 単位幅、単位時間当たりの流砂量、 x ; 水路
における距離、 t ; 時刻である。

sand wave の移動速度を u_b とし、 u_b に比べて
sand wave の変形速度が十分に小さい場合に、近
似的に次式が成立す。

$$\frac{\partial}{\partial x} = -u_b \frac{\partial}{\partial t} \quad (2)$$



記号説明図

(1), (2)を連立して解けば、sand wave の高さと流砂量の間の関係として次式を得る。

$$-u_b \eta(x, t) + \bar{q}(x, t) = C \quad (3)$$

C は基準線の上りオホ^ウと sand wave の変形に寄与しない流砂量によって決まる定数である。

ある時刻 $t = t_0$ における任意の場所的平均値を $-\bar{u}_b$ とし、それより量の平均値からはずれを $'$ をつけて表わすと

$$\eta(x, t_0) = \bar{\eta} + \eta'(x, t_0) \quad (4)$$

$$\bar{q}(x, t_0) = \bar{q} + q'(x, t_0) \quad (5)$$

(4)および(5)式を(3)式に代入すれば次式を得る。

$$-u_b \eta'(x, t_0) + q'(x, t_0) = 0 \quad (6)$$

(6)式を用ひれば、sand wave の空間相関係数 $R(\delta)$ は次式で表わされる。

$$R_q(\bar{z}) = \frac{\eta'(x, t_0) \eta'(x+\bar{z}, t_0)}{u_b^2} = \frac{1}{u_b^2} \frac{g'(x, t_0) g'(x+\bar{z}, t_0)}{u^n(x, t_0)} \quad (7)$$

ここで、流砂量 $q(x, t)$ がつぎのようない形で表わされると仮定する。

$$q(x, t) = m u^n(x, t) \quad (8)$$

ここで、 $u(x, t)$ は時刻 t における断面内の河床近傍の平均流速、 m 、 n は河床物理の性状および流体の性状によって決まる定数である。

$u(x, t_0)$ の場所的平均を $\bar{u}(t_0)$ とし、 $u(x, t)$ の $\bar{u}(t_0)$ からの速度を $u'_M(x, t_0)$ とすれば、

$$u'_M(x, t_0) = u(x, t_0) - \bar{u}(t_0) \quad (9)$$

(7)、(8)より流砂量の場所的変動量 $q'(x, t_0)$ を求めれば

$$q'(x, t_0) = m; u'_M(x, t_0) + \bar{u}(t_0) \}^n - m \bar{u}^n(t_0) \quad (10)$$

展開して、2次以上の項は小さきのとて無視すれば、得る

$$q'(x, t_0) = m m \bar{u}^{m-1}(t_0) u'_M(x, t_0) \quad (11)$$

(11)式を(7)式に代入すれば、式を得る。

$$R_q(\bar{z}) = \frac{m^2 n^2 \bar{u}(t_0)^{\frac{2(m-1)}{m}}}{u_b^2} \frac{u'_M(x, t_0) u'_M(x+\bar{z}, t_0)}{u^n(x, t_0)} \quad (12)$$

一方、混合距離理論的に考えれば、流れの乱れ速度は平均流速分布に逆が成立するに、ある点に沿う異なる方向からなるからの作用により流体塊が飛ぶにせば速度を生じることによることとする。それにはその点の平均流速で運ばれながら完全に混合して消滅する。このように考へれば、本件の場合の乱れ速度は河床に沿う流れの部分、流体が上部の平均流に飛ぶに発生すると考へられるのであくまでも速度の空間的な頻度分布 $u'_M(x, t_0)$ の頻度分布に等しいと考えられる。古川の発生、消滅はエルゴード的と考えられており、変動速度に比べて測定点の平均流速が十分に大きく frozen turbulence を假定することができれば、一点における乱れ速度を測定し、Euler相関 $R_E(k)$ を求め、平均流速による修正として波数スペクトルを求めれば、それは乱れ速度の波数スペクトルと同じであり、これが、(7)式より求めた河床 sand wave の波数スペクトルと類似である。すなわち、sand wave の波数スペクトル $F(k)$ と Euler相関の関係はつぎのようである。

$$\begin{aligned} F(k) &= + \int_0^\infty R_q(\bar{z}) \cos 2\pi k \bar{z} dz \\ &= \frac{+ m^2 n^2 \bar{u}(t_0)^{\frac{2(m-1)}{m}}}{u_b^2} \int_0^\infty R_E(k) \cos 2\pi k \bar{z} dk \end{aligned} \quad (13)$$

参考文献

- 1)芦田和男 流跡の変遷と災害、河川災害研究の現況とその将来に関するシンポジウム、1968年2月
- 2)福岡捷二 砂葦の発生 災害とそのスペクトル、東京工大土木工学科研究報告 No.4、1967年